

زیرهمسانه‌سازی و بررسی بیان ژن صناعی ناحیه اتصالی نوروتوكسین بوتولینوم تیپ B (BD/B)

مجید برادران^۱، فیروز ابراهیمی^{۱*}، شهرام نظریان^۱، عباس حاجیزاده^۱، یوسف تارورددیزاده^۱

چکیده

زمینه و هدف: سندروم بوتولیسم توسط نوروتوكسین باکتری کلستریدیوم بوتولینوم ایجاد می‌شود. این نوروتوكسین دارای ۷ سروتیپ از G-A می‌باشد. بهترین راه برای جلوگیری از سندروم بوتولیسم ایجاد شده توسط BoNT/B استفاده از واکسن‌های نوترکیب ساخته شده از ناحیه اتصالی آن (به علت داشتن اپی‌توپ‌های کافی برای تحریک سیستم ایمنی) است. در این پژوهش بیان زیر واحد اتصالی نوروتوكسین بوتولینوم تیپ B، به منظور کاندید واکسن مورد بررسی قرار گرفت.

روش بررسی: ابتدا توالی ژن ناحیه اتصالی نوروتوكسین بوتولینوم تیپ B از سایت NCBI با کد دسترسی EF028399.1 گرفته شد. بعد از بهینه‌سازی کدنون، ژن مورد نظر به صورت صناعی در داخل وکتور pUC18 تهیه گردید. سپس این ژن در وکتور یانی (+) pET32a(+) که دارای مارکر انتخابی آمپیسیلین می‌باشد، زیرهمسانه‌سازی شد. جهت تأیید صحت زیرهمسانه‌سازی؛ از PCR، برش آنزیمی و تعیین توالی و برای بررسی بیان از سوش E. coli BL21(DE3) استفاده گردید. صحت بیان پروتئین با الکتروفورز (تحت شرایط مختلف و روش وسترن بلات) مورد بررسی قرار گرفت.

یافته‌ها: واکنش‌های PCR، برش آنزیمی را براساس سایت‌های برشی در وکتور و در نهایت، تعیین توالی تأیید کرد که ژن مورد نظر به طور مناسب در وکتور (+) pET32a(+) همسانه‌سازی شد. بررسی بیان با استفاده از SDS-PAGE و متعاقب آن انجام وسترن بلازینگ نشان داد پروتئین مورد نظر در سویه بیانی مذکور بیان نمی‌شود.

نتیجه‌گیری: اگرچه ژن مورد نظر در داخل وکتور (+) pET32a(+) به طور مناسب زیرهمسانه‌سازی گردید، با این حال هیچ بیان قابل مشاهده‌ای از ژن مورد نظر دیده نشد.

کلید واژه‌ها: کلستریدیوم بوتولینوم؛ بررسی بیان؛ واکسن نوترکیب.

*مرکز تحقیقات زیست‌شناسی، دانشکده علوم پایه، دانشگاه جامع امام حسین(ع)، تهران، ایران.

نویسنده مسئول مکاتبات:

فیروز ابراهیمی، دانشکده علوم پایه، دانشگاه جامع امام حسین(ع)، تهران؛ ایران؛

آدرس پست الکترونیکی:

febrhimi@ihu.ac.ir

تاریخ دریافت:

۹۴/۸/۲۴

لطفاً به این مقاله به صورت زیر استناد نمایید:

Baradaran M, Ebrahimi F, Nazarian Sh, Hajizade A, Tarverdizadeh Y. Subcloning and assessment of the expression of synthetic botulinum neurotoxin type B binding domain (BD/B). Qom Univ Med Sci J 2016;10(5):29-37. [Full Text in Persian]

مقدمه

اولین بار در سال ۱۹۷۱، واکسن‌های تک‌ظرفیتی به صورت انبوه تولید و در سال ۱۹۷۸ بسته‌بندی و عرضه شدند. در حالی که بوتولینوم با منشأ غذایی، یک مسمومیت به شمار می‌آید، انواع دیگر این بیماری که به بوتولینوم نوزادان و روده بزرگ‌سالان معروف است نیز یک عفونت محسوب می‌شود. برخلاف نوع قبلی، عفونت ایجاد شده درون بدن، منشأ تولید سم است. از آنجاکه بوتولینوم نوزادان در سن زیر یک‌سال ایجاد می‌شود، عقیده بر این است که به علت عدم توسعه یافتنگی کافی فلور طبیعی دستگاه گوارش، رقابت کافی و لازم با کلستریدیوم بوتولینوم وجود ندارد، لذا امکان کلونیزاسیون باکتری به شکل رویشی در روده بزرگ و در نتیجه تولید سم و ایجاد بیماری فراهم می‌شود. برای ایجاد این بیماری حدود ۱۰-۱۰۰ اسپور مولد باکتری کافی است. برای پیشگیری از این بیماری از طریق واکسیناسیون، بهترین استراتژی، استفاده از واکسن نوترکیب برپایه ناحیه اتصالی نوروتوكسین به علت داشتن اپی‌توپ‌های مناسب برای تحریک سیستم ایمنی می‌باشد (۷). در این تحقیق تلاش گردید با استفاده از وکتور pET 32a(+)، ناحیه اتصالی نوروتوكسین بوتولینوم تیپ B بیان شود.

روش بررسی

ژن مصنوعی ناحیه اتصالی نوروتوكسین کلستریدیوم بوتولینوم تیپ B و ستون Ni-NTA agarose resin جهت تخلیص پروتئین نوترکیب (شرکت شاین جین، کشور چین)، آنزیم Taq DNA Polymerase (شرکت سیناژن، جمهوری اسلامی ایران)، آنزیم Pfu DNA Polymerase (شرکت متایون، آلمان) و آنزیم‌های برش دهنده (شرکت Thermoscientific، آمریکا) تهیه گردید. از باکتری E. coli BL21(DE3) محصول نوازن (آلمان)، به عنوان سلول میزبان بیانی استفاده شد. مواد تشکیل‌دهنده PAGE و وسترن بلاست نیز از شرکت Merck (آلمان) و کیاژن (آمریکا) تهیه گردید. همچنین برای القا از IPTG تهیه شده از شرکت سیگما استفاده شد. وکتور بیانی pET32a(+) به عنوان ناقل ژن از پژوهشگاه ملی ژنتیک تهیه گردید. از محیط‌های LB Broth و LB Agar (Luria-Bertani) و Merck آلمان) با غلظت‌های ۴۰-۸۰ میکروگرم بر میلی‌لیتر و

کلستریدیوم بوتولینوم، باکتری گرم مثبت بی‌هوایی و میله‌ای شکل است که در خاک یافت شده و نوروتوكسین ترشح می‌کند (۱). تاکنون ۷ سروتیپ از این نوروتوكسین (سم عصبی) شناخته شده که عبارتند از: A, B, C1, D, F, G و فقط تیپ‌های E (۲). هریک از و گاهی F در انسان ایجاد بیماری می‌کنند (۲). نوروتوكسین‌های بوتولینوم پس از بیان ژن به صورت یک پروتئین تک‌زنگیره‌ای با وزن ۱۵۰ کیلو Dalton در می‌آیند که به وسیله پروتئازها به دو زنجیره سنگین (HC) (۱۰۰ کیلو Dalton) و زنجیره سبک (LC) (۵۰ کیلو Dalton) تبدیل می‌شوند. این دو زنجیره با یک پیوند دی‌سولفیدی به یکدیگر متصل هستند. زنجیره سنگین، مسئول اتصال به نورون‌های کولینرژیک محیطی و زنجیره سبک یک اندوپیتیاز وابسته به روی بوده که پروتئین‌های مسئول رهاسازی نوروترانسمیتر را به طور اختصاصی در محل‌های خاص می‌شکافد (۳-۵). هرچند موارد مسمومیت از طریق زخم (بوتولینوم جراحت) و عفونت در نوزادان (بوتولینوم اطفال) نیز گزارش شده، ولی بسیار کمیاب هستند. بوتولینوم اطفال تنها ۲۰ سال است که مطرح شده و در افرادی که دچار مسمومیت با این نوروتوكسین می‌شوند عوارض مختلفی مانند ضعف عضلانی عمومی که ابتدا ماهیچه‌های چشمی و نای، سپس تمام ماهیچه‌های اسکلتی را تحت تأثیر قرار می‌دهد و در موارد شدیدتر، فاج عضلانی همراه با تخرب عملکردهای غیرارادی نظیر تنفس رخ داده که منجر به مرگ می‌شود. اقدامات پیشگیرانه و درمانی علیه این بیماری از سال ۱۹۴۰ میلادی تاکنون مورد تحقیق و بررسی قرار گرفته است (۶).

مهرار فعالیت سم بوتولینوم در هریک از سه مرحله کلیدی فرآیند. ایجاد مسمومیت منجر به مصوّبیت در برابر بوتولینوم خواهد شد. در حال حاضر برای ایجاد مصوّبیت اختصاصی افراد در معرض خطر، از یک توکسوئید ۵ ظرفیتی بوتولینوم علیه سروتیپ‌های A-E استفاده می‌شود. تولید توکسین در چندین مرحله صورت می‌گیرد که شامل: کشت انبوه، جداسازی، تخلیص و سمتیزدایی می‌باشد. ساخت توکسوئید برای هریک از سروتیپ‌های بوتولینوم از اوآخر دهه ۱۹۶۰ و اوایل دهه ۱۹۷۰ میلادی آغاز شده است.

ترادف‌های انتخابی با استفاده از نرم‌افزار OLIGO از لحاظ دمای اتصال (T_m)، درصد G+C، تولید لوپ یا حلقه در درون هریک از پرایمرها ارزیابی شد. درنهایت، پرایمرهای طراحی شده توسط نرم‌افزار BLAST در بانک اطلاعاتی NCBI مورد تأیید قرار گرفت تا از عدم مشابهت آن با سایر ژن‌های در دسترس، اطمینان حاصل گردد (شکل‌ها شماره ۱ و ۲).

این پرایمرها، به منظور سنتز به شرکت سیناژن سفارش داده شدند.

توالی پرایمرها به شرح زیر بود:

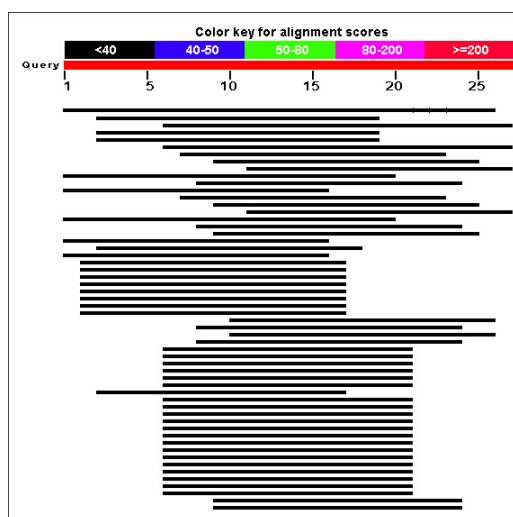
پرایمر پیشرو:

5' AACCAAGCTTATATCATGCCGTTGACCTT'

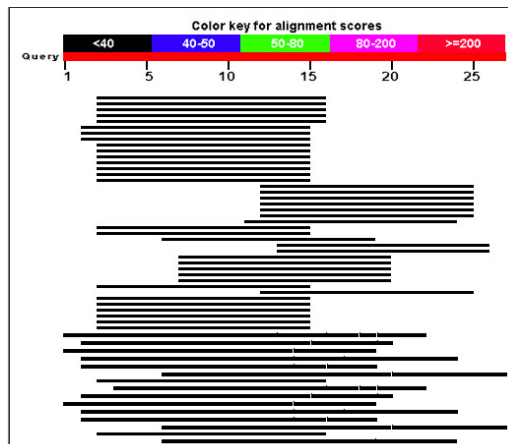
پرایمر پیرو:

5' TCAGCTCGAGTTATCGGTCCAACCTTCAT'

آنتی‌بیوتیک آمپیسیلین (تهیه شده از شرکت سیگما آمریکا) استفاده گردید. مواد شیمیایی از قبیل Tris HCl، EDTA، Sucrose base، Tris base سدیم، استات پتاسیم، استیک اسید، اتیدیوم بروماید، NaCl، Merck HCl، ایزوپروپانول و ایزو آمیل الکل از شرکت (آلمان) و گلوتاکیون احیا از شرکت سیگما (آلمان) تهیه شد. به منظور تأیید زیرهمسانه‌سازی ژن BD/B، با توجه به توالی صناعی تهیه شده برای آن (که درون پلاسمید pET28a(+) سنتز شده بود)، یک جفت پرایمر طراحی شد. با توجه به توالی ژن BD/B، همچنین الگوی برش آنزیمی آن، ترادف نوکلئوتیدی پرایمرهای پیشرو و پیرو با رعایت اصول استاندارد در طراحی پرایمر تعیین گردید.



شکل شماره ۱: Blast پرایمر پیشرو با توالی ژنی که نشان‌دهنده ۱۰۰٪ شباهت می‌باشد.



شکل شماره ۲: Blast پرایمر پیرو با توالی ژنی که نشان‌دهنده ۱۰۰٪ شباهت است.

بعد از تخلیص پلاسمیدهای نوترکیب، واکنش‌های PCR، واکنش تکبرش آنزیمی با *XhoI* و مقایسه باند خطی پلاسمید نوترکیب و پلاسمید فاقد ژن بر روی ژل آگارز، واکنش برش دوگانه آنزیمی با آنزیم‌های *NcoI*، *XhoI* و مشاهده تک باند ژنی جدا شده از پلاسمید بر روی ژل آگارز و درنهایت، بهمنظور بررسی توالی ژن زیرهمسانه‌سازی شده و اطمینان از عدم بروز هرگونه خطا، جهش و یا نوآرایی ناخواسته، پلاسمید نوترکیب تخلیص شده توسط شرکت سیناژن با استفاده از پرایمرهای عمومی این پلاسمید، تعیین توالی شد.

برای بررسی بیان سازه ژنی BD/B، ابتدا سویه‌های نوترکیب واجد پلاسمید pET32a(+-)BD/B در محیط کشت LB مایع حاوی آمپیسیلین (غلظت ۸۰ میکروگرم بر میلی لیتر) کشت گردید و اجازه داده شده تا جذب نوری آن در طول موج ۶۰۰ نانومتر به ۵٪ برسد. سپس ماده IPTG (ایزوپروپیل بتا-دی-تیوگالاکتوپیرانوزید) به عنوان القاکننده با غلظت یک میلی مولار به محیط کشت اضافه و اجازه داده شد تا سلول‌ها به مدت ۴ ساعت دیگر در دمای ۳۷ درجه سانتیگراد با ۱۲۰ دور در دقیقه گرم‌گذاری شوند. بعد از جداسازی سلول‌ها با سانتریفوژ (سرعت ۵۰۰۰ دور در دقیقه به مدت زمان ۱۰ دقیقه)، رسوب آن در ۱۰۰ میکرولیتر ایمیدازول ۱۰٪ حل شد و از طریق سونیکاسیون (۵ سیکل با قدرت ۷۵٪، زمان ۱۵ ثانیه و ۱۵ ثانیه در یخ) شکسته شد. سپس در دمای ۴ درجه سانتیگراد با سرعت ۱۴۰۰۰ دور در دقیقه سانتریفوژ و مایع رویی جدا گردید. رسوب حاصل (بعد از افروزن ۱۰۰ میکرولیتر بافر لیزکننده حاوی اوره ۸ مولار به آن)، به مدت ۳۰ دقیقه در دمای ۳۷ درجه سانتیگراد گرم‌گذاری شد و بعد از ۳۰ دقیقه در دمای ۱۶ درجه سانتیگراد با سرعت ۱۴۰۰۰ دور در دقیقه سانتریفوژ روحی آن جدا گردید. سپس جهت بهینه‌سازی و مشاهده بیان، سه پارامتر اصلی شامل: غلظت IPTG (غلظت ۱ و ۰/۵ میلی مولار)، زمان (زمانهای مختلف بعد از القا: ۴، ۸، ۱۶ و ۲۴ ساعت) و دمای بیان (۲۵، ۳۰ و ۳۷ درجه سانتیگراد) مورد بررسی قرار گرفت؛ بدین ترتیب که باکتری نوترکیب در ۹ لوله مجزا حاوی ۱۰ میلی لیتر محیط کشت مایع LB و آمپیسیلین (به غلظت ۸۰ میکروگرم در میلی لیتر) کشت داده شد تا جذب نوری آنها به ۵٪ برسد.

قطعه ژنی BD/B ابتدا با آنزیم Taq پلیمراز طی ۳۵ چرخه تکثیر گردید. این واکنش در غلظت ۴ میلی مولار *MgCl₂*، ۲۰ پیکومول از هر پرایمر، ۰/۲ میلی مولار dNTP و ۵۰ نانوگرم از پلاسمید pET28a حاوی قطعه ژنی صناعی، در دمای اتصال ۶۱ درجه سانتیگراد بهینه‌سازی شد. چرخه‌های PCR شامل: یک مرحله واسرشتی ابتدایی در دمای ۹۵ درجه سانتیگراد به مدت ۶ دقیقه، ۳۵ چرخه شامل: مراحل واسرشتی در دمای ۹۴ درجه سانتیگراد به مدت ۳۰ ثانیه، اتصال پرایمر به رشته الگو در دمای ۶۱ درجه سانتیگراد به مدت ۳۰ ثانیه و تکثیر قطعه مورد نظر در دمای ۷۲ درجه سانتیگراد به مدت ۶۰ ثانیه و در پایان، یک مرحله تکثیر نهایی در دمای ۷۲ درجه سانتیگراد به مدت ۵ دقیقه بود.

محصول PCR بر روی ژل آگارز ۱٪ الکتروفورز گردید.

مراحل زیرهمسانه‌سازی قطعه ژنی BD/B در پلاسمید (pET32a(+))

بعد از استخراج وکتورها از ژل آگارز، تحت اثر دو آنزیم *NcoI* و *XhoI* انتظار بر این است که پس از هضم آنزیمی توسط آنزیم‌های ذکر شده، دو انتهای وکتورهای خطی شده، به صورت چسبنده (Steaky end) در آیند (۸). مخلوط واکنش‌ها در دمای ۳۷ درجه سانتیگراد به مدت ۳ ساعت قرار داده شدند تا عمل هضم آنزیمی صورت گیرد. محصولات برش خورده بر روی ژل آگارز ۱٪ با دمای ذوب پایین الکتروفورز گردید. سپس آن نواحی از ژل که حاوی قطعات مورد نظر بود با استفاده از تیغ جراحی استریل بربیده شد و با استفاده از کیت تخلیص DNA (کیت Bioneer کره جنوبی) تخلیص گردید. پس از انجام فرآیند تخلیص، مقدار ۳ میکرولیتر از آن بر روی ژل آگارز ۱٪ الکتروفورز شد و از این طریق کیفیت قطعه تخلیص شده، مورد ارزیابی قرار گرفت. واکنش الحقاق در دمای ۴ درجه سانتیگراد به مدت ۱۶ ساعت با استفاده از آنزیم T4 DNA Ligase (محصول شرکت فرمتاز) انجام گرفت، سپس پلاسمید نوترکیب با روش شوک حرارتی به میزبان *E. coli* BL21(DE3) انتقال داده شد. سویه میزبان نوترکیب به مدت یک شب بر روی LB آگار حاوی آنتی‌بیوتیک آمپیسیلین (غلظت ۸۰ میکروگرم بر میلی لیتر) کشت داده شد و ۵ کلنی رشد یافت. بهمنظور تأیید صحت زیرهمسانه‌سازی، کلنی‌های رشد یافته در محیط کشت LB مایع، کشت داده شدند و

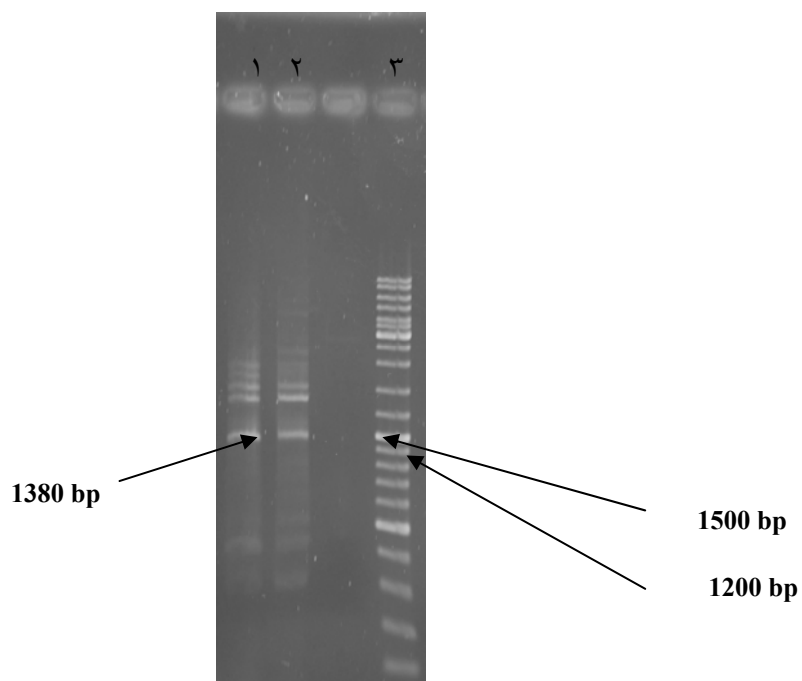
در ادامه، ۲۰ میکرولیتر از آن با ۵ میکرولیتر از بافر نمونه مخلوط گردید و ۵ دقیقه در آب جوش قرار داده شد. نمونه‌های آماده شده SDS-PAGE همراه با مارکر پروتئینی (سیناژن) بر روی ژل ۱۲٪ اجرا شد. نتایج نشان می‌دهند که در میان این مارکرها، یک باند اضافی با مقدار ۱۳۸۰ bp ظاهر شده است. این نتایج نشان می‌دهند که نوروتوكسین بوتولینوم تیپ B با استفاده از آنتی‌بادی علیه اطمینان بیشتر و تخلیص بیان پروتئین، از رزین کروماتوگرافی نیکل استفاده گردید.

یافته‌ها

پس از تکثیر قطعه ژنی BD/B، با استفاده از پرایمرهای طراحی شده، محصول PCR بر روی ژل آگارز ۱٪، الکتروفورز شد. در شکل شماره ۳، مطابق انتظار یک قطعه ۱۳۸۶ جفت بازی بر روی ژل مشاهده می‌شود.

برای هر دما، سه لوله (شامل: یک لوله برای غلظت ۱ IPTG میلی‌مolar، یک لوله برای غلظت IPTG ۰/۵ میلی‌مolar و یک لوله برای کنترل منفی در هر دما)، در نظر گرفته شد.

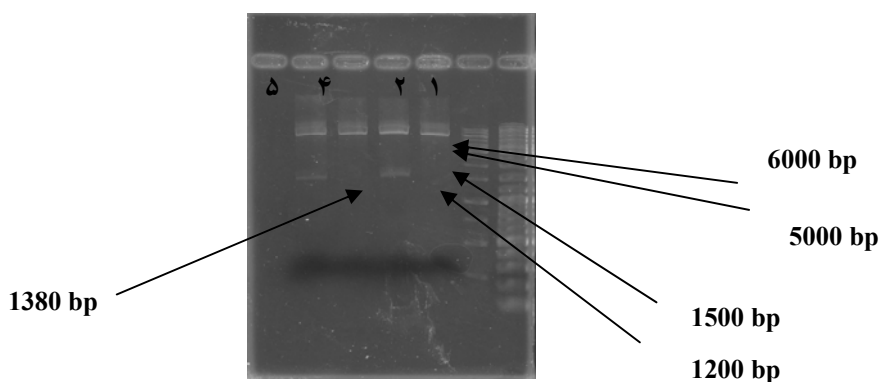
پس از رسیدن جذب نوری به ۰/۵، القا با IPTG انجام گرفت و سپس لوله با سرعت گردش ۱۲۰ دور در دقیقه گرم‌آگزداری شد. در سر رسیدن هر کدام از زمانهای ۴، ۸، ۱۶ و ۲۴ ساعت، مقدار ۱/۵ میلی‌لیتر از هر لوله، در میکروتیوب‌های مجزا جداسازی گردید، البته از لوله‌های کنترل منفی تنها در پایان ۲۴ ساعت، نمونه‌گیری انجام گرفت. جداسازی سلول‌ها به وسیله سانتریفیوژ (با سرعت ۵۰۰۰ دور در دقیقه به مدت ۱۰ دقیقه) انجام شد. بعد از جداسازی سلول‌ها به همه آنها بافر لیزکننده حاوی اوره ۸ مولار افزوده شد و سپس تحت سونیکاسیون (مشابه قبل) قرار گرفت و بعد از سانتریفیوژ (در دمای ۴ درجه سانتی‌گراد با سرعت ۱۴۰۰۰ دور در دقیقه و زمان ۱۵ دقیقه)، مایع رویی جدا گردید.



شکل شماره ۳: چاهک‌های ۱ و ۲، محصولات PCR و چاهک ۳، DNA Ladder می‌باشد.

فرآیند زیرهمسانه سازی بود (شکل شماره ۴). درنهایت، تعیین توالی ژن زیرهمسانه سازی شده نیز نشان داد این توالی قادر کدن خاتمه ناجا، جهش و نوآرایی ناخواسته می‌باشد.

نتایج واکنش تک‌برش آنزیمی با آنزیم XhoI، برش دوگانه آنزیمی با آنزیم‌های XhoI، NcoI و واکنش PCR بر روی پلاسمید نوترکیب pET32a(+)-BD/B، تأیید ابتدایی بر صحت

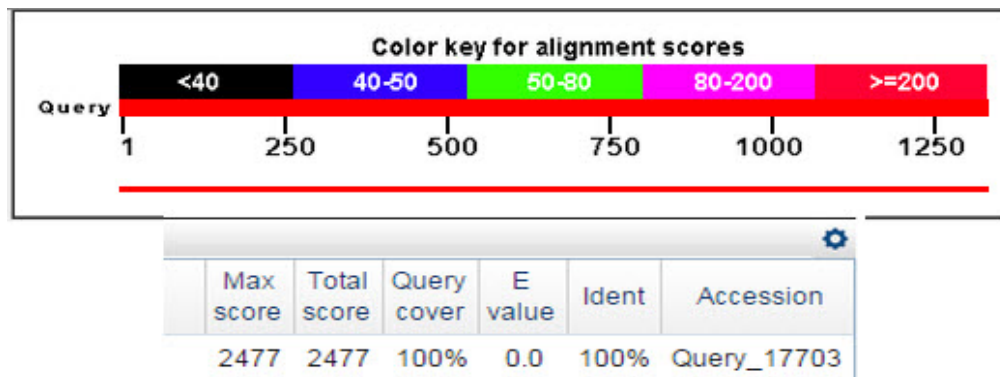


شکل شماره ۴: فرآیند هضم دوگانه آنزیمی به منظور تأیید زیرهمسانه‌سازی.

(۱) نشانگر مولکولی؛ (۲) پلاسمید (+) pET32a(+) برش دوگانه آنزیمی با NcoI و XbaI که منجر به جدا شدن قطعه ژنی با طول ۱۳۸۶ از پلاسمید خطی شده با طول حدود ۵۰۰۰ جفت باز شده است. (۴) پلاسمید (+) pET32a(+) برش دوگانه آنزیمی با NcoI و XbaI که منجر به جدا شدن قطعه ژنی با طول حدود ۱۳۸۶ از پلاسمید خطی شده با طول حدود ۵۰۰۰ جفت باز شده است.

پس از تعیین توالی، نتایج Pairwise Alignment نشان داد ژن همسانه‌سازی شده با توالی ژن طراحی شده اولیه دارای مطابقت است. هم ردیف کردن توالی ژن زیرهمسانه‌سازی شده با توالی اولیه نشان داد اولاً فرآیند زیرهمسانه‌سازی به طور صحیح انجام شده و ثانیاً موتاسیون ناخواسته در طی این فرآیندها اتفاق نیفتاده و قالب بازخواندن آن نیز تغییر نکرده است. در شکل شماره ۵ نتیجه دسترسی Query_69569 توالی Pair Wise Allignment نشان داده شده است.

کلی که نتایج PCR و هضم دوگانه آنزیمی آنها با آنزیم‌های محدود الاثر مثبت شده بود، انتخاب و پس از تخلیص پلاسمید، به شرکت سیناژن برای تعیین توالی ارسال شد. از آنجایی که طول قطعه زیرهمسانه‌سازی شده، ۱۳۸۶ جفت باز است و دستگاه تعیین توالی کننده نیز در هر بار خوانش از هر طرف، قادر به قرائت قطعه‌ای به طول حدوداً ۱۲۰۰ نوكلئوتید می‌باشد، از این‌رو با خوانش دو طرفه و هم‌ردیف کردن نتایج، کل ژن تعیین توالی شد و بدین منظور از هر دو پرایمر استفاده گردید.



Query 601 GAAGTTATCGCTAACGGTGAAATCATCTTCAAACACTGGACGGTGACATCGACCGTACCCAG 660

Sbjct 601 GAAGTTATCGCTAACGGTGAAATCATCTTCAAACACTGGACGGTGACATCGACCGTACCCAG 660

Query 661 TTCATCTGGATGAAAATCTTCTATCTCAATACGGAACGTCTCAGTCTAACATCGAA 720

Sbjct 661 TTCATCTGGATGAAAATCTTCTATCTCAATACGGAACGTCTCAGTCTAACATCGAA 720

Query 721 GAACGTTACAAATCCAGTCTACTCTGAATACCTGAAAGACTTCTGGGTAACCCGCTG 780

Sbjct 721 GAACGTTACAAATCCAGTCTACTCTGAATACCTGAAAGACTTCTGGGTAACCCGCTG 780

Query 781 ATGTACAACAAAGAATACTACATGTTCAACGCTGGTAACAAAAACTCTTACATCAAAC TG 840

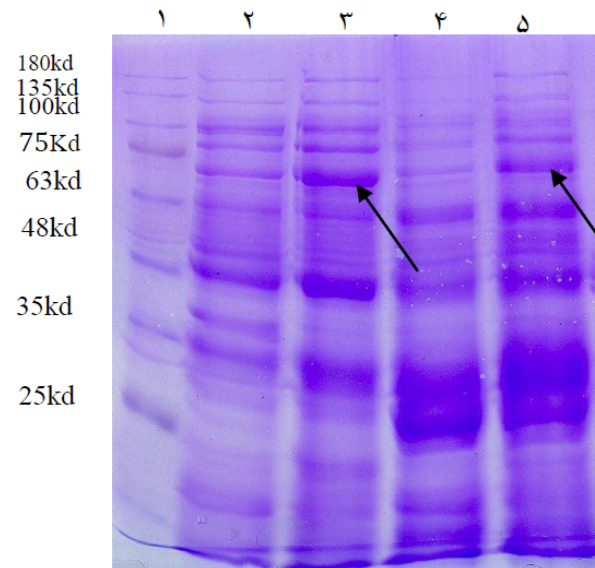
Sbjct 781 ATGTACAACAAAGAATACTACATGTTCAACGCTGGTAACAAAAACTCTTACATCAAAC TG 840

شکل شماره ۵: تأیید صحت زیرهمسانه‌سازی با فرآیند Pair Wise Alignment توالی زیرهمسانه‌سازی شده و توالی ابتدایی طراحی شده.

برای انجام این فرآیند از سایت NCBI استفاده شده است (به علت بزرگی ژن، تنها قسمتی از آن در اینجا آمده است).

گردید، ولی پس از وسترن بلاستینگ و درنهایت، استفاده از ستون رزین نیکل؛ پروتئین نوترکیب مورد نظر باز هم با وجود اتصال به پروتئین trx، بیان نشد (شکل شماره ۶).

در بیان ابتدایی و سپس بهینه‌سازی بیان نمونه‌ها پس از القا در سویه‌های به کار گرفته شده در مقایسه با نمونه کنترل، با اینکه باند مشکوک پروتئینی در محدوده حدود ۷۵ کیلو Dalton مشاهده



شکل شماره ۶: بررسی اولیه بیان پروتئین فیوژن شده با استفاده از IPTG غلظت یک میلی مولار، زمان القا ۴ و ۸ ساعت و دمای ۳۷ درجه سانتی‌گراد.

(۱) پروتئین مارکر؛ (۲) محلول رویی محیط کشت کنترل منفی (بدون القا با IPTG) در زمان ۴ ساعت؛ (۳) محلول رویی محیط کشت تست بعد از ۴ ساعت که در محدوده ۲۵ کیلو Dalton یک باند مشاهده می‌شود و احتمال دارد باند بیان پروتئین باشد؛ (۴) محلول رویی محیط کشت کنترل منفی بعد از ۲۴ ساعت و (۵) محلول رویی محیط کشت تست که همان باند دیده می‌شود.

تجویز گردید، موش‌های ایمن شده توانستند دوز $10^{4} \times LD_{50}$ از نوروتوكسین‌های فوق الذکر را تحمل کنند (۱۲). در تحقیقی دیگر که در آن Michael و همکاران از ناحیه اتصالی نوروتوكسین بوتولینوم تیپ‌های A و E استفاده کردند، موش‌های ایمن شده توانستند دوز $10^{5} \times LD_{50}$ را تحمل کنند (۱۳)؛ در صورتی که محصول این پژوهش به بیان پروتئین ختم می‌شد، پیشنهاد مؤکد در بررسی میزان ایمنی‌زایی پروتئین حاصل شده بود. با وجود تمامی این گزارش‌ها، تلاش ابتدایی جهت همسانه‌سازی و بیان ژن ناحیه اتصالی تیپ B در وکتور pET28a(+)، منتج به نتیجه نشد، لذا در این تحقیق از pET32a(+) استفاده گردید. اما همان‌طور که در نتایج اشاره شد باوجود کنترل و تأیید تمام مراحل همسانه‌سازی، نتیجه مشخصی در مرحله بیان مشاهده نشد و آنالیزهای لازم بیوانفورماتیکی، به منظور بررسی احتمالات عدم بیان انجام گرفت که از جمله بررسی ORF فیوژن پروتئین و BLAST توالی قبل و بعد از تعیین توالی نشان داد نه تنها جایه‌جایی فریم (Frame Shift) اتفاق نیفتاده؛ بلکه هیچ گونه جهش ناخواسته‌ای نیز رخ نداده است.

بحث

بیشتر مطالعات در زمینه تولید واکسن نوترکیب و آنتی‌بادی بر روی بخش اتصال‌دهنده نوروتوكسین متumerکز شده است تا بتوان با تولید آنتی‌بادی برعلیه این بخش، مانع از اتصال اولیه توکسین به گیرنده شده و بدین طریق از ورود سم به داخل سلول جلوگیری کرد. در تحقیقی که عبدالرضا عاقلی منصور و همکاران در رابطه با انتهای C از ناحیه اتصال‌دهنده نوروتوكسین بوتولینوم تیپ E انجام دادند، موش‌های ایمن شده توانستند دوز $10^{3} \times LD_{50}$ از توکسین بوتولینوم تیپ E را تحمل کنند (۹). در مطالعه‌ای دیگر، Kubota و همکاران آنتی‌بادی منوکلونالی تولید کردند که از اتصال BoNT/E به سلول هدف ممانعت می‌کرد. این آنتی‌بادی به ناحیه اتصالی نوروتوكسین متصل می‌شد (۱۰). Trollet و همکاران نیز در تحقیقی با استفاده از روش انتقال الکتریکی (Electrotransfer)، آنتی‌بادی خشی کننده علیه نوروتوكسین بوتولینوم تیپ‌های A، B، E تولید کردند (۱۱). همچنین در مطالعه‌ای که توسط Easwaran و همکاران انجام شد، ناحیه اتصالی نوروتوكسین تیپ‌های E، B، A، به صورت استنشاقی

(هر چند در آنالیز بیوانفرماتیکی، پایداربودن آن احراز گردید).

نتیجه گیری

طبق نتایج این مطالعه، علی‌رغم اینکه گزارش‌هایی در مورد بیان ژن ناحیه اتصالی کلستریدیوم بوتولینوم تیپ B وجود دارد، ولی تلاش‌های انجام شده در مورد بیان این ژن در (+) pET32a(+)، نتیجه قابل توجهی را دربرنداشت.

بررسی ساختار دوم mRNA نیز نشان داد نقطه شروع ترجمه، درون ساختار محکمی که مانع اتصال کامل ریبوزوم شود، قرار ندارد. به علاوه، دارای dG بسیار مناسبی است. در مطالعه حاضر بررسی خصوصیات پروتئین نشان داد pI آن ۸/۶ بوده، نیمه عمری بیش از ۱۰ ساعت داشته و از لحاظ ساختاری در شرایط درون سلولی، قادر تا می‌باشد پایدار باشد، ولی با این همه پروتئین موردنظر بیان نشد. درنهایت، مهم‌ترین دلیل احتمالی عدم بیان می‌تواند تجزیه و شکسته شدن پروتئین بلافاصله بعد از بیان باشد.

References:

- Capková K, Salzameda NT, Janda KD. Investigations into small molecule non-peptidic inhibitors of the botulinum neurotoxins. *Toxicon* 2009;54(5):575-82.
- Humeau Y, Doussau F, Grant NJ, Poulain B. How botulinum and tetanus neurotoxins block neurotransmitter release. *Biochimie* 2000;82(5):427-46.
- Moe ST, Thompson AB, Smith GM, Fredenburg RA, Stein RL, Jacobson AR. Botulinum neurotoxin serotype A inhibitors: Small-molecule mercaptoacetamide analogs. *Bioorg Med Chem* 2009;17(8):3072-9.
- Hines HB, Kim AD, Stafford RG, Badie SS, Brueggeman EE, Newman DJ, et al. Use of a recombinant fluorescent substrate with cleavage sites for all botulinum neurotoxins in high throughput screening of natural product extracts for inhibitors of Serotypes A, B, and E. *Appl Environ Microb* 2008;74(3):653-9.
- Park JG, Sill PC, Makiyi EF, Garcia-Sosa AT, Millard CB, Schmidt JJ, et al. Serotype-selective, small-molecule inhibitors of the zinc endopeptidase of botulinum neurotoxin serotype A. *Bioorg Med Chem* 2006;14(2):395-408.
- Zinseer H. Zinseer Micribiology. 20th ed. Norwalk: Appleton and lange; 1995. p. 402-5.
- Arnon SS, Schechter R, Inglesby TV, Henderson DA, Bartlett JG, Ascher MS, et al. Botulinum toxin as a biological weapon: Medical and public health management. *JAMA* 2001;285(8):1059-70.
- Sambrook J, MacCallum P, Russell D. Molecular cloning: A laboratory Manual. 4th ed. Harbor NY: Cold Spring Harbor Laboratory Press; 2012. (Chapters 6-12)
- Mansour AA, Mousavi SL, Rasooli I, Nazarian S, Amani J, Farhadi N. Cloning, high level expression, and immunogenicity of 1163-1256 residues of C-terminal heavy chain of *C. botulinum* neurotoxin type E. *Biologicals* 2010;38(2):260-4.
- Kubota T, Watanabe T, Yokosawa N, Tsuzuki K, Indoh T, Moriishi K, et al. Epitope region in the heavy chain of clostridium botulinum type E neurotoxin recognized by monoclonal antibody. *Appl Environ Microb* 1997;63(4):1214-8.
- Trollet C, Pereira Y, Burgain A, Litzler E, Mezrahi M, Seguin J, et al. Generation of high-titer neutralizing antibodies against botulinum toxins A, B, and E by DNA electrotransfer. *Infect Immun* 2009;77(5):2221-9.
- Easwaran R, Fetweh H, Denise M. Trivalent vaccine against botulinum toxin serotypes A, B, and E that can Be administered by the mucosal route. *Infect Immun* 2007;75(6):3043-4.
- Baldwin MR, Tepp WH, Pier CL, Bradshaw M, Ho M, Wilson BA, et al. Characterization of the antibody response to the receptor binding domain of botulinum neurotoxin serotypes A and E. *Infect Immun* 2005;73(10):6998-7005.

Original Article

Subcloning and Assessment of the Expression of Synthetic Botulinum Neurotoxin Type B Binding Domain (BD/B)**Majid Baradaran¹, Firouz Ebrahimi^{1*}, Shahram Nazarian¹, Abbas Hajizadeh¹, Yousof Tarverdizadeh¹**

¹Biology Research Center,
Faculty of Basic Sciences,
Imam Hossein University,
Tehran, Iran.

Abstract

Background and Objectives: Botulism syndrome is caused by *Clostridium botulinum* neurotoxin. This neurotoxin has 7 serotypes, from A to G. The best way to prevent botulism syndrome caused by BoNT/B is immunization with recombinant binding domains of BoNT/B (due to containing sufficient epitopes to stimulate the immune system). In this study, the expression of the BoNT/B binding domain as a candidate vaccine, was investigated.

Methods: At first, the sequence of the *BoNT/B* binding domain gene was obtained from NCBI website with accession number of EF028399.1. After codon optimization, the gene was synthesized in pUC18 vector. Then, the gene was subcloned in pET32a(+) expression vector that carries an ampicillin selection marker. PCR, enzymatic digestion, and sequencing were used to confirm subcloning accuracy, and *E. coli* BL21(DE3) was used for the expression analysis. The accuracy of protein expression was evaluated by electrophoresis and western blotting.

Results: PCR reaction, enzymatic digestion, and sequencing confirmed that the gene of interest has been subcloned appropriately in the vector. The expression analysis by SDS-PAGE and subsequently western blotting, showed that the protein of interest is not expressed in the mentioned expression strain.

Conclusion: Although the gene was successfully subcloned in *pET32a(+)* vector, no significant expression of the gene was observed.

Keywords: *Clostridium botulinum*; Gene expression; Vaccines, Synthetic.

***Corresponding Author:**
Firouz Ebrahimi, Biology
Research Center, Faculty of
Basic Sciences, Imam
Hossein University, Tehran,
Iran.

Email:
febrhimi@ihu.ac.ir

Received: 27 Sep, 2015

Accepted: 15 Nov, 2015